

تحلیل جنبشی چین خوردگی در ساختارهای تاقدیسی ناحیه فارس داخلی

نوشته: محمدعلی گنجویان^{*}، سهاب شهرباری^{**} و علی یاسفی^{***}

^{*} دانشگاه آزاد اسلامی واحد علوم و تحقیقات تهران، دانشکده علوم پایه، تهران، ایران

^{**} دانشگاه شهید بهشتی تهران، دانشکده علوم زمین، تهران، ایران

^{***} دانشگاه تربیت مدرس، دانشکده علوم پایه، تهران، ایران

تاریخ پذیرش: ۱۳۸۶/۰۵/۲۴ | تاریخ دریافت: ۱۳۸۵/۰۵/۲۴

چکیده

ناحیه فارس در بخش پیش بوم زاگرس واقع گردیده است و از شمال و خاور به راندگی اصلی زاگرس، از جنوب به تنگه هرمز و خلیج فارس، و از باخته به گسل کازرون محدود می‌گردد. گسل‌های راندگی و چین خوردگی‌های همراه، از ساختهای اصلی آن به شمار می‌روند. روند این ساختارها شمال باخته-جنوب خاور و همروند با روند ساختارهای موجود در کمریند چین خورده-رانده شده زاگرس می‌باشد. بررسی‌های ساختاری چهار تاقدیس در ناحیه فارس داخلی بر پایه تفسیر خطوط بازتاب لرزه‌ای و ترسیم برشن عرضی ساختاری بر مبنای داده‌های چاه‌های پیرامون و برداشت‌های صحرایی شواهدی را به شرح زیر آشکار ساخته است. با توجه به هندسه چین خوردگی و از دیدگاه ارتباط چین‌های پیشروی گسل (fault propagation folding) و چین‌های جدایشی (fault detachment) را می‌توان در این تاقدیس‌ها مشاهده کرد. براساس پارامترهای اندازه‌گیری شده، تاقدیس قره بولاغ با مدل چین خوردگی پیشروی گسله و تاقدیس‌های درز و شیرخوان با مدل چین خوردگی جدایشی مطابقت دارد. براساس مقاطع بازتاب لرزه‌ای و برشن عرضی ساختاری، تاقدیس چاه کیله در عمق تبدیل به یک ناویدیس شکنجه می‌گردد. میزان کوتاه شدگی براساس مقطع عرضی ساختاری موازن شده ۱۴٪ محاسبه شده است.

کلید واژه‌ها: پیش بوم زاگرس، ناحیه فارس، تحلیل هندسی، رده‌بندی چین خوردگی، تحلیل ساختاری، چین جدایشی، میزان کوتاه شدگی.

۱- مقدمه

است. مثلاً در فارس، تاقدیس‌ها دچار فرسایش ژرف‌تری شده‌اند و ناویدیس‌ها در سکوی فارس بسیار باریک هستند، در حالی که در فروافتادگی دزفول چین نیست. از سوی دیگر نزدیکی و تکنگنیکی تاقدیس‌ها که در باخته فارس دیده می‌شود، در فروافتادگی دزفول مشاهده نمی‌شود. به علاوه ستبرای رویه رسوبی در سکوی فارس به مرتب از فروافتادگی دزفول کمتر است (مطیعی، ۱۳۷۴).

- از دیگر تفاوت‌های مهم، حضور گند نمکی در فارس و عدم حضور آن در فروافتادگی دزفول است.

- چهار تاقدیس مورد بررسی در این پژوهش به ترتیب از شمال به جنوب عبارتند از: قره بولاغ، درز، چاه کیله و شیرخوان (شکل ۱).

- سبک چین خوردگی در ناحیه پیشتر هم مرکز در نظر گرفته می‌شود که سطوح جدایش زیرین آن در نمک‌های هرمز و سطوح جدایش فرعی و درون سازندی در سازندی‌های تبخیری داشتک، شیل پابده و گورپی دیده می‌شود (Comby et al., 1977 و مطیعی، ۱۳۷۴).

۲- تحلیل جنبشی چین‌ها و سازوکار چین خوردگی

اصول و پایه بررسی سبک‌های چین راندگی در منطقه مورد مطالعه براساس روش‌های ارائه شده توسط (Jamison 1987) و (Thorbojohnson & Dunn 1996) ارائه شده توسط (Setudehnia 1978) می‌شوند. چین خوردگی‌های مرتبط با گسل‌ش راندگی براساس بررسی‌های هندسی و جنبشی انجام گرفته است. بررسی‌های هندسی براساس اندازه‌گیری داده‌های هندسی از جمله زاویه بین پهلوها (۲)، زاویه شبیل پله سطح راندگی (۳)، ستبر و نازک‌شده گی پهلوی پیشانی صورت می‌گیرند (شکل ۲). سپس این داده‌ها بر روی نمودارهای مربوطه (شکل ۴) قرار داده شده و با اضافه کردن داده‌های به دست آمده از وضعیت هندسی چین‌ها سبک مناسب چین خوردگی مرتبط با گسل‌ش راندگی برای تاقدیس‌های مورد مطالعه ارائه شده است. مرحله بعد از بررسی‌های هندسی، بررسی‌های جنبشی است که تکمیل کننده مطالعات هندسی است. بررسی‌های جنبشی مستلزم مطالعات دقیق ساختارهای متوجه می‌باشد (Mesoscopic structures) و ریزساختاری (Microstructures) از مناطق مختلف تاقدیس‌ها (پهلوها

از آنجا که بخش بزرگی از نفتگیرهای جنوب و جنوب باخته ایران از نوع ساختاری (تاقدیس و ناویدیس‌های مرتبط با گسل‌ش) است، شناخت هندسه و سبک چین خوردگی این نوع نفتگیرهای بدو منظور از دیرباز مورد توجه قرار گرفته است. نخست، شناخت مناطق مناسب برای تجمع مواد هیدروکربنی و دوم برنامه‌ریزی مناسب به منظور توسعه مخازن اکشاف شده پیشین. از سوی دیگر، بررسی ساختارهای منطقه جنوب و جنوب باخته ایران در مقیاس ناحیه‌ای اهمیت زیادی دارد، زیرا با مطالعه آنها می‌توان الگوهای مشابه را در زمان (افق‌های معین) و مکان (مناطق مشابه از نظر زمین‌شناسی) جستجو کرد. در این مطالعه ابتدا هندسه سطح‌های چین خوردگی افق‌های مخزنی (الیگومیوسن و کرتاسه میانی و زیرین و پرمین) با استفاده از تمامی داده‌های مستقیم و غیرمستقیم (چاه‌ها، برش‌های زمین‌شناسی و نیمچه‌های لزمای) بررسی و تعیین شد و سپس تحلیل جنبشی (Kinematic Analysis) مجموعه لایه‌ها در ساختارهای مورد مطالعه صورت گرفت. به همین منظور چهار ساختار در منطقه فارس داخلی مورد بررسی قرار گرفتند. امید می‌رود با انجام مطالعه حاضر برخی از پیچیدگی‌های ساختاری موجود در مخازن مهم نفتی و گازی در ناحیه فارس روشن شود.

۳- جایگاه زمین شناختی

منطقه فارس که توسط (Setudehnia 1978) سکوی فارس نامیده شده، از خاور گسل کازرون به سمت تنگه هرمز کشیده شده است و مز جنوب باخته آن بر خط ساحلی خلیج فارس منطبق بوده و در شمال خاور به راندگی اصلی زاگرس محدود می‌شود و قسمتی از بخش بیرونی کوهزاد زاگرس را تشکیل می‌دهد. این ناحیه شامل خروجی‌های نمک، چند میدان گازی و میدان‌های نفتی چون میدان‌های نفتی خشت، بوشیگان و سروستان است. همچنین روند NW-SE ساختارهای زاگرس در این ناحیه به سمت تنگه هرمز به روند E-W و NE-SW چرخش می‌یابد. با نگاهی اجمالی به نقشه‌های زمین‌شناسی زاگرس می‌توان دریافت که تفاوت‌های ویژه‌ای بین ساختارهای سکوی (Platform) فارس و فروافتادگی دزفول موجود

می شوند. این چین ها غالباً در مناطقی بالای بندی نازک لایه توسعه پیشتری دارند. در حالی که چین های نوع P.F.P در اثر انتشار و نفوذ گسل های راندگی به مجموعه های پوشانده به وجود می آیند و در خلال این انتشار، دگر شکلی در نوک این گسل های راندگی متراکم می شود. این چین ها دارای ناحیه لولایی کم وسعت بوده و زاویه بین پهلوهای آن کمتر از چین های نوع F.B.F بوده و احتمال بروز زدگی هسته در آنها نیز پیشتر است. همچنین مقایسه شکل چین های نوع اول و دوم نشان می دهد که زاویه پهلوهای پشتی به عواملی چون پیشتر از نوع F.B.F است. نوع سوم چین ها گرچه از نظر هندسی ویژگی هایی شبیه چین های نوع دوم دارند، ولی برخلاف آنها در گسل های راندگی در ناحیه جدایش واحد های سنگی (Detachment zone) و در شرایط دگر شکلی شکل بذیر توسعه می یابند.

در تحلیل چین های منطقه مورد مطالعه، پارامترهای هندسی به کار رفته در تحلیل تاقدیس به شرح زیر برداشت شده است:

۱) زاویه بین پهلوها-(α) که به صورت آماری و از استریو گرام های ترسیمی و برش عرضی ساختاری برداشت شده است.

۲) زاویه شبیب پله سطح راندگی (α) که به دلیل عدم رخمنون مناسب از سطح گسل راندگی، از شبیب پهلوهای پشتی تاقدیس های همراه معادل آن در نظر گرفته شده است.

۳) درصد ستر شدگی و نازک شدگی پهلوهای پیشانی و پشتی که بر مبنای اختلاف ستبر شدگی و یا نازک شدگی در پهلوها و با مقایسه با یک لایه مینا در خارج از منطقه چین خورده به دست می آید.

(Cross Section Balancing)

برش های عرضی ابزار بسیار مهمی برای ارائه اطلاعات در مورد ساختارهای زمین شناسی هستند. از این رو تفسیر نشان داده شده در برش عرضی باید تا حد امکان به واقعیت نزدیک باشد. روش موازنی این برش ها به منظور کمک به تحلیل و ارتقای برش های عرضی هستند. موازنی مقاطع، امکان آزمودن اعتبار هندسه ساختاری رسم شده در یک برش عرضی را فراهم می آورد (Dahlstrom, 1969; Elliott, 1983). روش موازنی برش های عرضی در مطالعه کمریندهای دگر شکل شده ای که در آنها دگر شکلی گسترهای در لایه های سنگی بالایی یک گسل جدا کننده (Decollement) یا گستره (Detachment) (Rodgers, 1949, 1963; Rich, 1934). دگر شکلی های دارای سطوح جدایش، هم در کمریندهای چین خورده- رانده به وجود می آیند (Boyer & Elliott, 1982) که کوتاه شدگی پوسته با تشکیل گسل های رانده و چین های واپسنه به آن همراه است (Hossack, 1979) و هم در سزمین های کافی با کششی که در آن نازک شدگی پوسته با تشکیل گسل های نرمال و چین های مربوط به آن همراه است، رخداد می دهد (Gibbs 1983, 1984; Wernicke & Burchfiel, 1982).

در اینجا از روش موازنی طولی برش عرضی ساختاری (Bed Length Balance) برای موازنی مقطع عرضی ساختاری استفاده شده که در آن موازنی طول مقطع با تأکید بر حفظ طول و یکنواختی لایه انجام می گیرد (Marshak & Woodward, 1988). منظور از حفظ طول لایه، این است که طول یک مرز در مقطع عرضی در جزیران دگر شکلی تغییر نمی کند. به این ترتیب، مقطع شماره I که به روش کینک (Kink) (به طول تقریبی ۵۶ کیلومتر رسم شده بود، با قرار دادن خط نشانه (Pin line) در محور اولین ناودیس در انتهای جنوب باختり مقطع و پیاده کردن طول مرز سازنده و گسل های مربوطه با توجه به ثابت در نظر گرفتن سترای لایه به حالت اولیه بر گردانده شد (مقطع باز گردانده شده) در مرحله بعد، این مقطع با توجه به ماهیت ویژگی های هر لایه، سترای لایه و جابه جایی در راستای گسل های موازن شد (شکل ۸ و ۹)، لایه های مربوط به سازندهای کم مقاومت (مانند ساقچون، گوربی و دشتک) با توجه به تغییرات سترای در آنها، بدون رنگ رسم شده است که نشان دهنده عدم اطمینان در سترای این لایه ها است. طول

و ناحیه لولایی) است. بررسی های انجام شده بر روی نمونه های میکروسکوپی از بدنه تاقدیس های قره بولاغ، درز و چاه کیله نشان دهنده عدم وجود شواهد مناسب (شانگرهای چنبشی) برای چین خوردهایی است. لذا این بررسی ها فقط بر مبنای نشانگرهای چنبشی بزرگ ساختاری صورت گرفته است. بر مبنای مطالعات Thorbojohnson & Dunn (1987), MacClay (2001, 2004) و Jamison (1996) سبک های مختلف چین خوردهایی مرتبط با گسلش راندگی بسته به عواملی چون شبیب راندگی مولد، مکانیک چینه شناسی، وزن روباره لایه ها و عوامل مشابه دیگر دارند که موجب تغییر این سبک ها و تبدیل شدن آنها بهم می شوند (شکل ۴). به همین دلیل در مواردی از تحلیل سبک این چین ها نقاط به دست آمده بر روی نمودارهای هندسی Jamison et al. (1987) در مزه ها قرار گرفته و یا در بعضی مواقع در برش های عرضی ساختاری متعدد بر تاقدیس های ناحیه مورد مطالعه اندازه گیری های پارامترهای هندسی در لایه های مختلف باعث تغییر در سبک چین راندگی می شود. به همین دلیل جهت رسیدن به یک سبک مشخص و دقیق هم از داده های سطحی (برداشت صحرایی و سنجش از دور) و هم از داده های زیر سطحی (اطلاعات چاه، لرزه نگاری و مغناطیس سنجی) استفاده شده است.

- ویژگی های مکانیکی لایه های چین خورده

مقاومت نسبی لایه ها، وجود سطح های جدایش در منطقه مورد مطالعه، ستبرای به نسبت زیاد و چند کیلومتری واحد های سنگی از مشخصه های چینه نگاری سنگی (Lithostratigraphy) (این ناحیه به عنوان بخشی از کمریند چین خورده راند شده زاگرس است. از نظر رفتار مکانیکی، این واحد های سنگی را در خلال دگر شکلی می توان به دو گروه مقاوم (Competent) و نامقاوم (Incompetent) تقسیم کرد. مکانیک چینه شناسی این ناحیه شامل: ۱) گروه پی سنگ مقاوم زیرین با سن پر کامبرین، ۲) گروه نامقاوم زیرین شامل سازند هرمز، ۳) گروه مقاوم از کامبرین تا میوسن، ۴) گروه نامقاوم میانی شامل سازند های دشتک با سن تریاس میانی (تبخیری) و گوربی با سن کرتاسه پسین (شیلی) که در بخش های شمالی به سری رنگی رادیولاریت تبدیل می شود، ۵) گروه نامقاوم بالایی شامل سازند ساقچون با سن پالئوسن (تبخیری- گچی) و سازند گچساران با سن میوسن که از بخش های میانی حوضه به سوی شمال تبدیل به سازند رازک می شود، ۶) گروه مقاوم بالایی شامل سازند های میشان، آغازاری و بختیاری هستند. سازند های ساقچون و گچساران به علت خاصیت شکل بذیری و نامقاوم بودن، نه تنها عاملی در شکل گیری سبک دگر شکلی ساختاری منطقه است، بلکه موجب برآمدگی ناودیس های منطقه شده است (شکل های ۶ و ۷).

۴- گسل ها و ارتباط چین خوردهای با گسلش

گسل های راندگی و چین خوردهایی های همراه از ساختارهای اصلی منطقه به شمار می روند و با توجه به این که کمریند چین خورده رانده شده زاگرس بخش پیشانی کوهزاد آپی زاگرس را تشکیل می دهد، همچون دیگر کمریندهای چین خورده رانده شده دگر شکلی در آن به صورت توسعه گسل های راندگی و چین خوردهایی های همراه است. ولی برخلاف مناطق مشابه، این گسل های راندگی بروز سطحی کمتر داشته و بهطور عمده مدفون هستند (Berberian, 1995). بر مبنای تحلیل های صورت گرفته از چین خوردهایی های مرتب با گسلش راندگی سه دسته اصلی از این چین ها به صورت چین های هم گسلی F.P.F (Fault Propagation Fold) چین های انتشار گسل (F.B.F) و چین های جدایش گسلی (F.D.F) رده بندی شده است (شکل های ۹ الف و ب). چین های نوع خم گسلی F.B.F با ناحیه لولایی وسیع و میزان شبیه کمتر پهلوهای پشتی نسبت به دو سبک دیگر و بیشتر بودن زاویه بین پهلوهای مشخص

- تاقدیس درز

بررسی نوع سبک این تاقدیس با توجه به ناحیه لولایی متوسط، وجود لایه‌های پلاستیک (ساقچون، گوربی و دشتک) با سترای مناسب و نقطه‌یابی پارامترهای هندسی در نمودارهای جمیسون، چین از نوع F.D.F است (شکل ۶a).

- تاقدیس چاه کیله

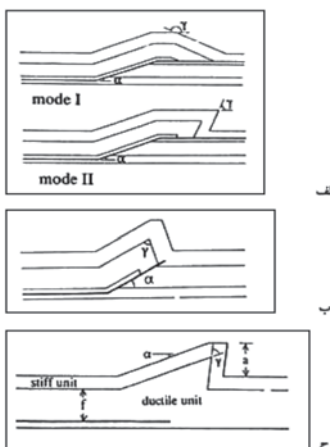
برش ترسیمی از این تاقدیس با توجه به اطلاعات زیرسطحی ژئوفیزیکی حاصل از برداشت‌های لرزه‌نگاری شکل (۳و۸) نشان می‌دهد که این تاقدیس در عمق تبدیل به یک ناودیس می‌شود که لا یه پلاستیکی ساقچون در عمق باعث چین خوردگی در بخش میانی این ناودیس شده و آن را به صورت یک ناودیس شکنجه (Synclinorium) در آورده است (شکل ۸ و ۹).

- تاقدیس شیرخوان

براساس اطلاعات بدست آمده، این تاقدیس در محدوده F.D.F قرار می‌گیرد. موازنۀ مقطع عرضی ساختاری نشان‌دهنده ۱۴ درصد کوتاه‌شدنی در این ناحیه است.

سپاسگزاری

بدین وسیله از معاون محترم اکتشاف شرکت ملی نفت ایران جناب آقای مهندس زاده محمدی و رئیس محترم اداره کل زمین شناسی جناب آقای مهندس احمدینی، که در انجام کلیه مراحل این رساله همواره از راهنمایی‌های علمی و عملی ایشان بهره‌مند بوده‌ایم و همچنین امکانات اجرای عملیات صحرایی متعدد را فراهم نموده‌اند سپاسگزاری می‌نماییم.



شکل ۲- نمایش پارامترهای هندسی چین‌های مرتبط با گسلش راندگی در سه F.D.F- ج - F.P.F- ب - F.B.F- الف

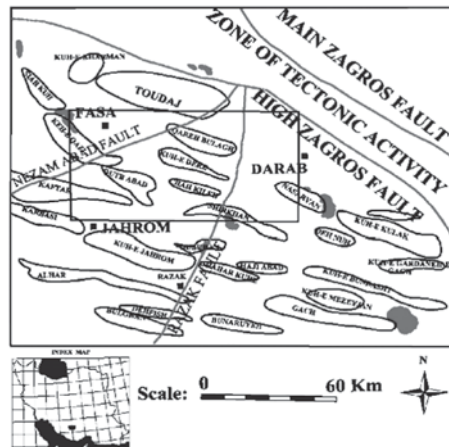
مقطع موازنۀ شده ۶۵ کیلومتر است و به این ترتیب مقادیر کوتاه‌شدنی ۱۴٪ درصد است.

۵- نتیجه گیری

بررسی هندسه چین خوردگی در ساختارهای مورد مطالعه در پهنه چین خوردگی- راندۀ زاگرس در ناحیه فارس داخلی و در مجاورت راندگی اصلی زاگرس قرار گرفته است. با توجه به تحلیل انجام شده براساس اطلاعات به دست آمده از داده‌های صحراوی (جدول ۱) و برش‌های ساختاری (شکل ۸ و ۹) که بر مبنای داده‌های زیرسطحی شامل اطلاعات چاه‌های پیرامون و نیمرخ‌های لرزه‌ای (شکل ۳) رسم شده است، تاقدیس‌های موردنظر به ترتیب زیر رده‌بندی می‌شوند:

- تاقدیس قوه بولاغ

مقایسه سترای لایه مینا و پهلوی پیشانی نشان دهنده ۲۵٪ ستر شدنی است (جدول ۱) که با این پارامتر دو سبک F.P.F و F.D.F را نشان می‌دهد (طبق شکل ۶a). این چین به علت داشتن لایه‌های پلاستیکی ساقچون، گوربی و دشتک در مرکز می‌تواند سبک F.D.F را نشان دهد اما به دلیل نمی‌تواند در این سبک قرار گیرد. اولاً وجود ناحیه لولایی کم وسعت نشان‌دهنده سبک F.P.F است. دوم این که رخنمون هسته تاقدیس در اثر عمل زبانه‌های راندگی دارا کویه جنوبی و فراخاست ناحیه لولایی باعث ایجاد یک سری شکستگی‌های نرمال در این ناحیه که با سبک F.P.F همخوانی دارد.



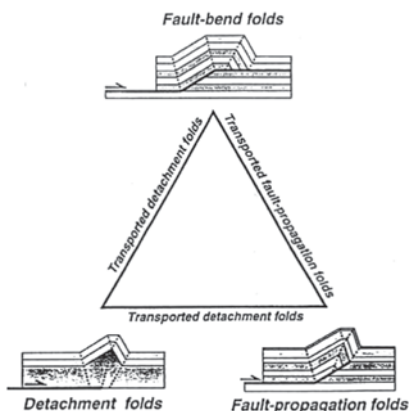
شکل ۱- نقشه حلقة (Ring) تاقدیس‌های منطقه داراب - فسا در ناحیه فارس داخلی
اقتباس: شرکت ملی نفت ایران

جدول ۱- پارامترهای هندسی تاقدیس‌های منطقه مورد مطالعه

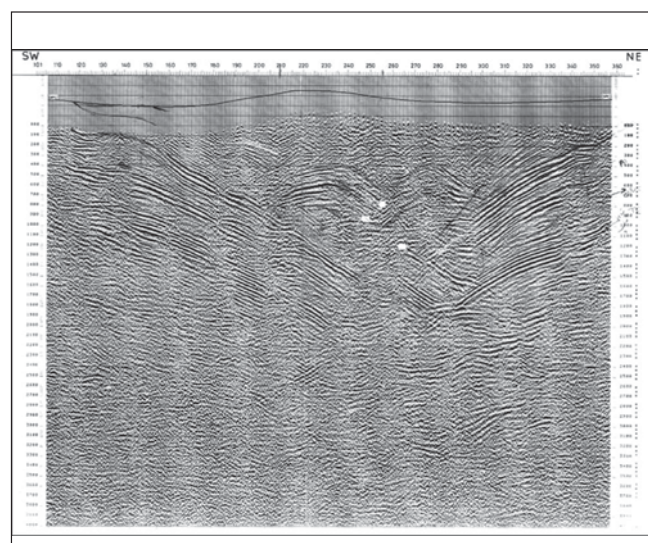
نام تاقدیس	زاویه بین دو پیال (°)	زاویه پله واندگی α Ramp	درصد ستر شدنی لایه مینا در پهلوی پیشانی (Tb)	Traverrye DD'				Traverrye CC'		Traverrye BB'		Traverrye AA'		افزایش سترای در سازند (Tb) شاهد تاریبور	
				M	A.S	-Axisβ	A.S	-Axisβ	A.S	Axisβ-	A.S	Axisβ-	A.S	Axisβ-	
× (Qa)	۱۱۰	۲۵	۲۵%	۵۰۰			۸۴/۳۰۵	۰/۶۱۲۵	۸۷/۰/۹۶	۰/۳/۲۸۶	۸۶/۱۲۵	۰/۴/۳۰۵			
○ (Drz)	۱۴۱	۲۵	۲۵%	۵۰۰	۸۸/۲۹۷	۰/۲/۱۱۷	۸۹/۲۸۶	۰/۶/۱۰۶	۸۸/۱۱۵	۰/۲/۲۹۵	۸۸/۰/۱۵	۰/۲/۲۷۵			
□ (Ch)	۱۲۴	۲۱	-	-					۸۹/۱۰۰	۰/۱/۲۸۰	۸۴/۲۸۶	۰/۶/۱۰۶			
△ (Sh)	۱۰۱	۱۵	۵۰%	۶۰۰							۸۸/۰/۹۸	۰/۲/۰۸			

A.S = Axial Surface; β.Axis = Plunge = Trend

THRUST - RELATED FOLDS

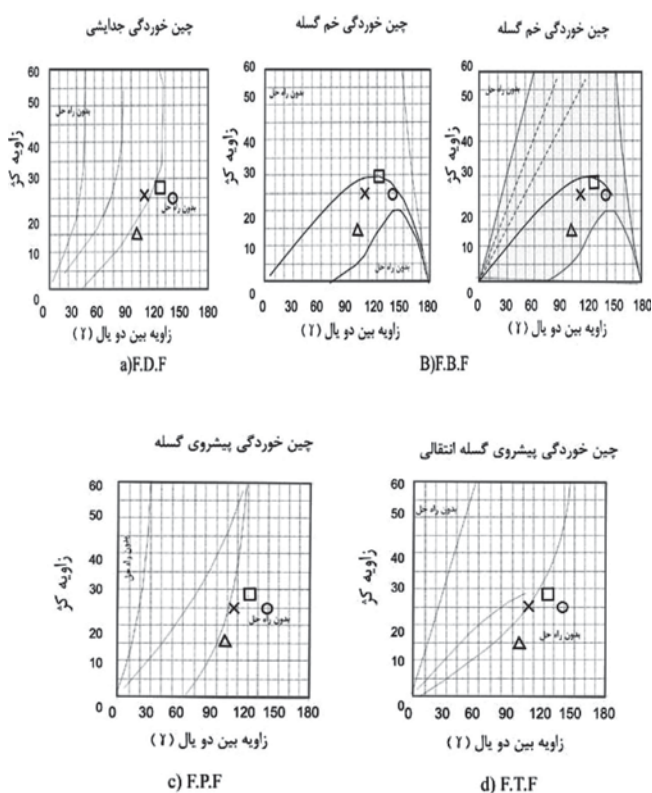


شکل ۴- تقسیم بندی ساده مدل‌های سه گانه گسل‌های رانده در گیر با چین خوردگی (از: MacClay, 2001)



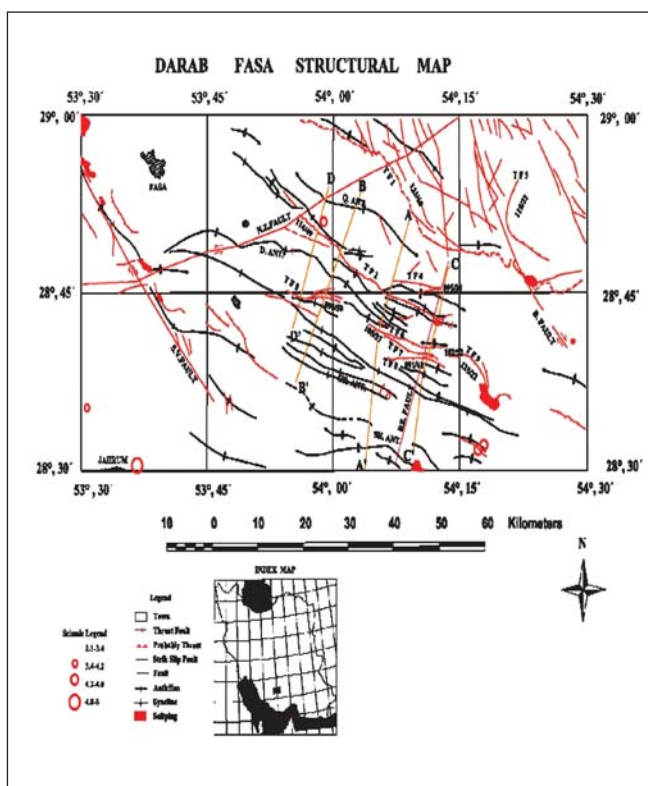
شکل ۳- مقطع لرزه‌ای منطقه تاقدیس چاه کیله

(بخشی از مقطع ساختاری AA')



شکل ۶- نمودارهای به کار رفته در تحلیل هندسه چین‌های مرتبط با گسل‌شن راندگی (اقتباس از Jamison, 1986) در سبک‌های F.D.F, F.B.F و F.P.F در تاقدیس‌های منطقه داراب-فسا-علام به کار رفته برای تاقدیس‌ها به شرح زیر است:

درصد افزایش ضخامت	نام ثانی فرم	علامت
۲۰/-۵۰%	ناق فرم بولاح	X
%۲۵	ناق فرم درز	O
-	ناق فرم چاه کیله	□
%۵۰	ناق فرم شیرخوان	△



شکل ۵- نقشه ساختاری منطقه داراب-فسا؛

Q.ANT: تاقدیس قره بولاغ؛

D.ANT: تاقدیس درز؛

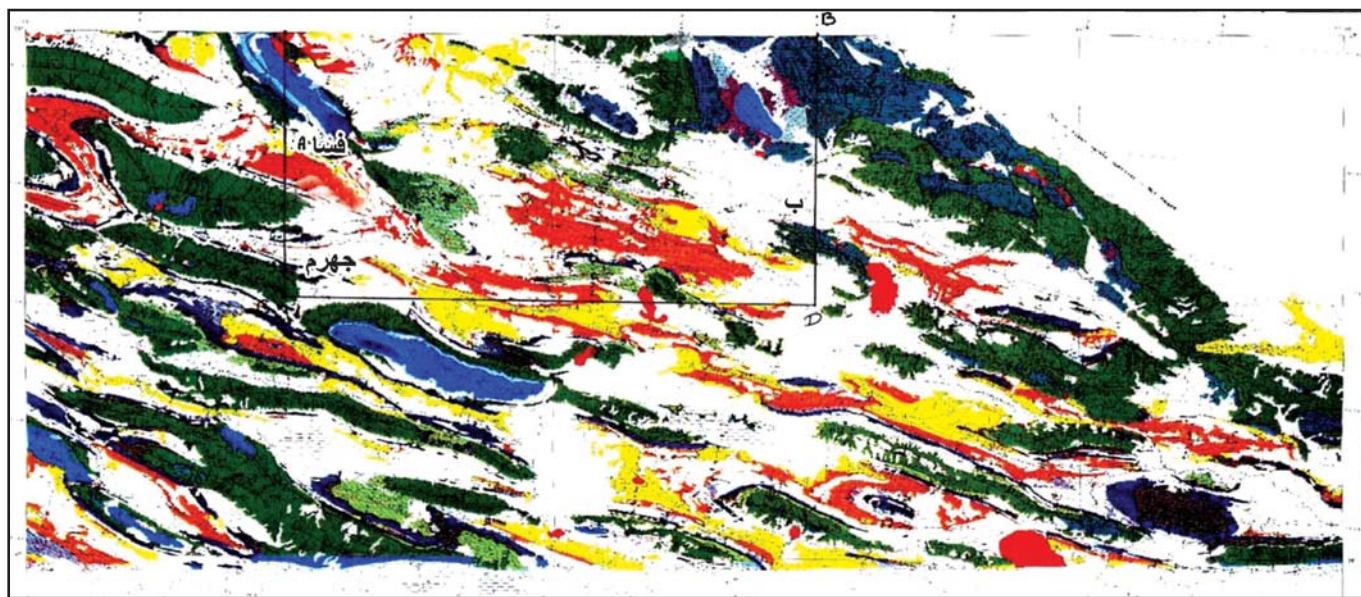
CH.ANT: تاقدیس چاه کیله؛

SH.ANT: تاقدیس شیرخوان؛

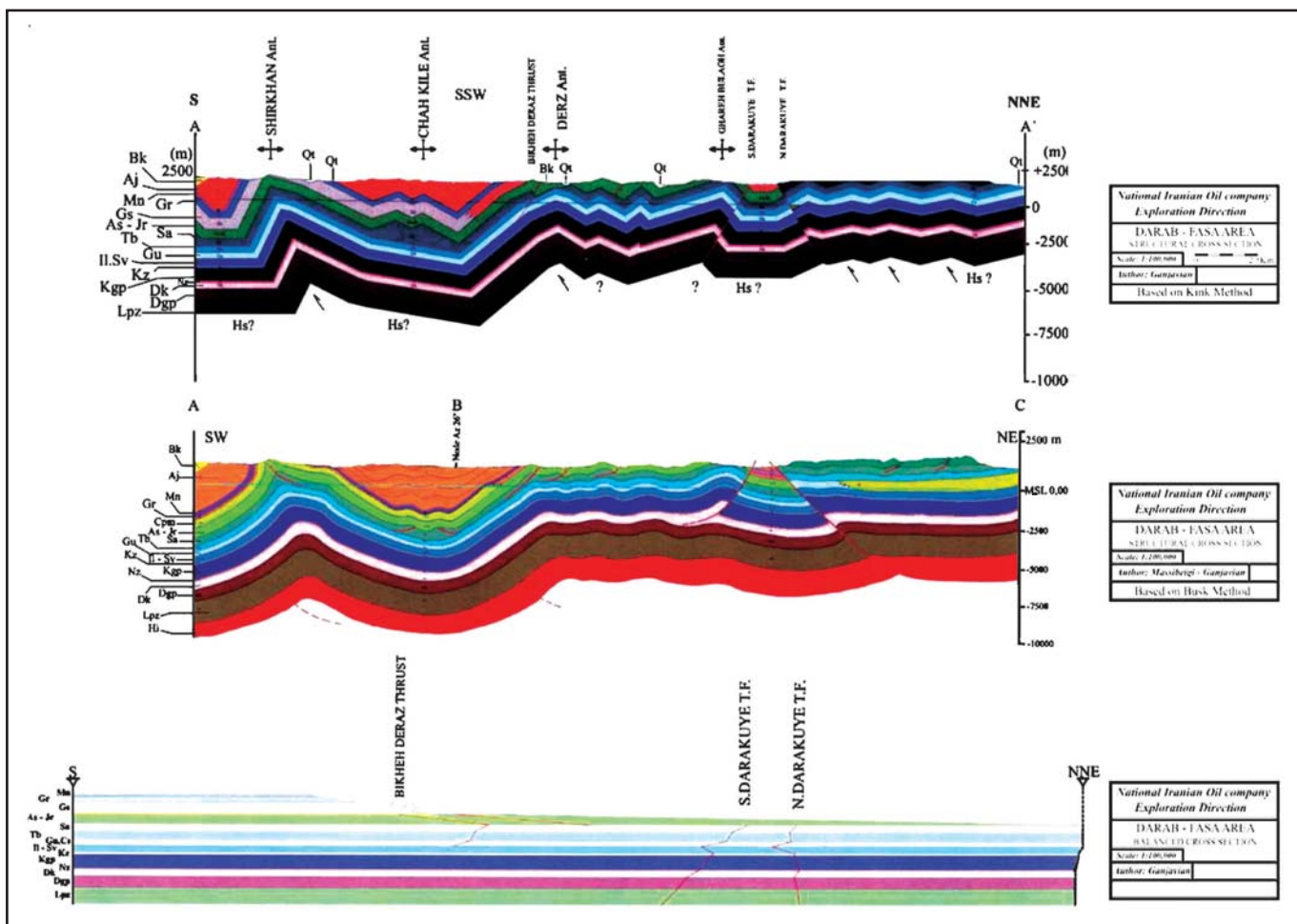
NZFAULT: گسل نظام آباد،

BFAULT: گسل بختگان،

RZFAULT: گسل رازک



شکل ۷- نقشه زمین شناسی جنوب خاور فارس که منطقه داراب - فسا بخشی از آن را تشکیل می دهد. اقتباس از: شرکت ملی نفت ایران



شکل های ۸ و ۹- مقاطع ساختاری I و II به ترتیب به روش کینک و باسک در مسیر AA' و III مقطع موازنۀ شده سازند های موجود عبارتند از: بختیاری (Bk)، آغاجاری (Aj)، میشان (Gr)، گرو (Mn)، گچساران (Gs)، آسماری - جهرم (Ja)، ساچون (Sa)، تاربور (Tb)، گوربی (Gu)، ایلام - سروک (Il-Sv)، کزدمی (Kz)، گروه خامی (Kgp)، دشتک (Dk)، گروه دهرم (Dgp)، نمک هرمز (Hs) و پالتوزوییک زیرین (Lpz)

کتابنگاری

گنجویان، م.ح.، ۱۳۸۴- مطالعه تکامل ساختاری بخشی از ناحیه فارس داخلی، منطقه داراب- فسا با تأکید بر جنبه های تجمع هیدروکربور در منطقه- رساله دکترای زمین شناسی ساختمانی- دانشگاه آزاد اسلامی واحد علوم و تحقیقات
مطیعی، ۰۵- ۱۳۷۴- زمین شناسی نفت زاگرس، دو جلد و کتاب زمین شناسی ایران، ش ۲۵، ۱۰۰۹ ص.

References

- Berberian, M., 1995- Master blind thrust faults hidden under the Zagros folds, Active basement tectonics and surface morphotectonics. Tectonophysics. V.241, P.193-244.
- Boyer, S. E. & Elliot, D., 1982- Thrust Systems., AAPG Bull, v 66, p 1196-1230.
- Comby, O., Lambert,C. & Coajou, A., 1977- An approach to the structural Studies of the Zagros fold belt in the EGOCO Agreement Area , in Proceeding of the Second Geological Symposium of Iran , Tehran , pp.133-159.
- Dahlstrom, C.D.A., 1969- Balanced cross sections., Can.J.Earth Sci, v.6, p.743-757.
- Elliot, D., 1983- The construction of balanced cross-section: Journal of Structural Geology, v.5, p. 101.
- Gibbs, A.D., 1983- Balanced cross-section construction from seismic sections in areas of extensional tectonics. Jl.Struct.Geol.5, p.153-160.
- Gibbs, A.D., 1984 – Structural evolution of extensional basin margins . Journal of Geological Society of London.v.141; no.4; p.609-620.
- Hossack, J.R., 1979- The use of balanced cross sections in the calculation of orogenic contraction: A review. Journal of Geological Society of London. 136, 705-711.
- Jamison, W.R., 1987- Geometric analysis of fold development in overthrust terranes. Journal of Structural Geology v.9 , p.207-219.
- MacClay, K., 2001- Advanced Structural Geology in Petroleum Exploration.
- MacClay, K. & Whitehouse, P.S. & Dooley, T. & Richards M., 2004- 3D evolution of fold and thrust belts formed by oblique convergence. Marine and Petroleum Geology . Vol. 21 , Issue 7, p.857-877.
- Marshak, S. & Woodward, N., 1988 -Basic Methods of structural geology. -(Introduction to cross section balancing).
- Rich, J.L., 1934- Mechanics of low angle overthrust faulting illustrated by Cumberland thrust block, Virginia, Kentucky and Tennessee. Bull. Geol. Soc. Amer. 18, 1584-1596.
- Rodgers, J., 1949- Evolution of thought on structure of middle and Southern Appalachians : AAPG , v.33 ; no.8 ; p. 1643-1654.
- Rodgers, J., 1963- Mechanics of Appalachian forland folding in Pennsylvania and West Virginia AAPG Bulletin, v.47 ; no.8 ; p. 1527-1563.
- Setudehnia, A., 1978- The Mesozoic sequence in southwest Iran and adjacent area. Journal of Petroleum Geology, 1 (1), 3-42.
- Thorbojohnson , Land Dunne, W. M., 1997- Origin of a thrust related fold, geometric vs kinematic tests. Journal of structural geology. v.19, p. 303-314.
- Wernicke, B. & Burchfiel, B.C., 1982- Modes of extensional tectonics. Jl. Structural Geology ,4,105-115.